

УСКОРЕНИЕ СХОДИМОСТИ ИТЕРАТИВНЫХ МЕТОДОВ*

С. Е. Михеев

him2@mail.ru

26 марта 2015 г.

Аннотация. Исследуется повышение качества сходимости итеративных численных методов с помощью принципа минимальности, в котором предлагаются использовать всю имеющуюся информацию для улучшения следующего приближения в смысле уменьшения оценки погрешности. В качестве такой информации рассматривается как теоретически получаемая оценка пошаговой погрешности исходного метода A вида $\|A(x) - \alpha\| \leq c\|x - \alpha\|^p$, так и получаемая в ходе вычислений оценка погрешности вида $\|x - \alpha\| \leq d$, где x — текущая итерация, α — искомое решение, $c > 0$, $p \geq 1$. Получены расчетные формулы для $p = 1$ и $p = 2$, когда норма — естественная норма в гильбертовом пространстве. Легко определяемая вычислительная трудоемкость этих формул позволяет априори решить вопрос о целесообразности их применения для повышения качества сходимости.

1°. Принцип минимальности.

1.1. Предварительное описание. Пусть имеется некоторое отображение $A : B \rightarrow B$, где B — банахово пространство. Рассматривается метод простой итерации $x^{k+1} = A(x^k)$, $k = 0, 1, \dots$ поиска неподвижной точки α отображения A . Об A часто бывает известна некоторая дополнительная информация I . Например, такая:

$$\|A(x^k) - \alpha\| \leq c\|x^k - \alpha\|, \quad c < 1. \quad (1)$$

Для ускорения метода простой итерации, а точнее создания нового итеративного процесса с базовым отображением A предлагается

Принцип минимальности (ПМ). Ввести в состав итеративной информации I_k величину $A(x^k)$ и оценку текущей погрешности d_k . Пусть множество элементов, удовлетворяющих этой информации, есть \mathcal{I}_k . Следующей

*Семинар по конструктивному негладкому анализу и недифференцируемой оптимизации «CNSA & NDO»: <http://www.apmath.spbu.ru/cnsa/>

итерацией назначить минимайзер величины $\Delta_k(y) := \max_{z \in \mathcal{I}_k} \|y - z\|$, иными словами,

$$x^{k+1} = \arg \min_{y \in B} \max_{z \in \mathcal{I}_k} \|y - z\|.$$

Итеративный метод, полученный применением принципа минимальности к какому-либо методу простой итерации, будем называть точной релаксацией (TP) соответствующего метода.

В разновидности банахова пространства — в евклидовом — можно дать простую геометрическую интерпретацию вышеизложенному. Неизвестная неподвижная точка α после вычисления k -й итерации, находится в шаре $S_{x^k}^{d_k}$. После вычисления $k + 1$ -й итерации согласно базовому алгоритму A , определено еще одно множество, в котором должна находиться неподвижная точка. Это \mathcal{I}_k — множество из α , удовлетворяющих (1). Доказано, что \mathcal{I}_k — шар. Таким образом, после вычисления $A(x^k)$ известно, что неподвижная точка должна принадлежать мениску — пересечению двух шаров: $\mathcal{I}_k \cap S_{x^k}^{d_k}$. Принцип минимальности предлагает следующим приближением назначить не $A(x^k)$, а центр шара минимального радиуса, содержащего указанный мениск. Это минимизирует наибольшую возможную погрешность при имеющейся информации.

Иллюстрация. Лучшее пояснение работы Принципа Минимальности можно найти не в простейшем скалярном, а в гильбертовом пространстве, и на исходном одноточечном итеративном методе — методе простой итерации с оценкой (1), где норма — естественная норма гильбертова пространства: $\|y\| := \sqrt{y^2}$.

Пусть $P := x^{k-1}$, $E := A(x^{k-1})$. Проведем прямую h в гильбертовом пространстве H через P и E . Она — ось симметрии итеративного состояния на k -м шаге. Рассмотрим ситуацию в произвольной двумерной плоскости, содержащей EP . Во всех таких плоскостях в силу изотропности пространства H и в силу симметрии картина будет одинаковой.

Рисунок иллюстрирует случай удаленного расположения E относительно оценочного круга $S_p^{d_{k-1}}$, который изображен красным. Зеленым отмечена граница множества решений неравенства (1) относительно α , оно, как известно, является кругом Аполлония (E не его центр). Для этого круга характерно отношение $EB/PB = c$. Если назначить $x^k = E$, то из оценки (1) извлекается оценка $d_k \leq d_{k-1}$. Т.е. α принадлежит кругу $S_E^{cd_k}$, граница которого изображена черным. Однако нетрудно заметить, что решение α может находиться лишь в мениске пересечения круга Аполлония и $S_p^{d_{k-1}}$. Нетрудно заметить, что минимальный шар, содержащий этот мениск, имеет радиус, меньший, чем cd_{k-1} , и центр, отличный от E . Этот центр находится налево от E на пересечении общей хорды этих кругов с осью симметрии. Он отмечен на рисунке вертикальной стрелкой.

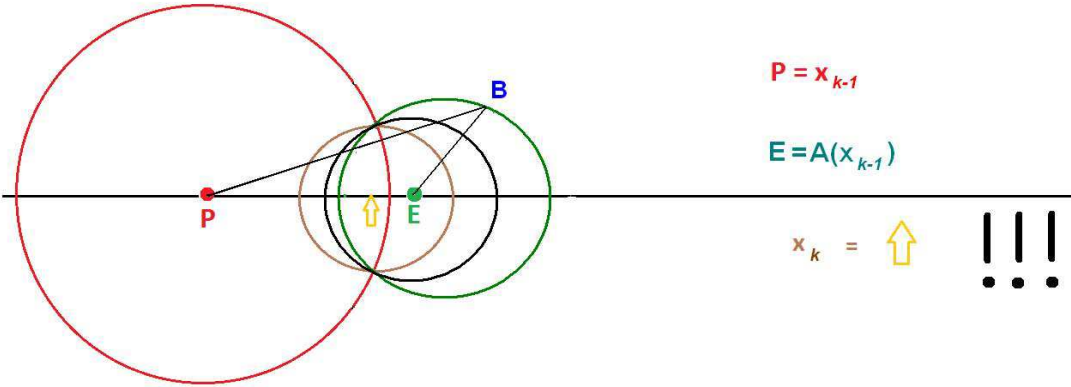


Рис. 1. Оценочные круги на k -й итерации

1.2. Определение принципа минимальности. Большая доля r -точечных итеративных методов поиска некоторого элемента α нормированного пространства B может быть представлена в виде

$$x^{k+1} = \mathcal{A}(X_k), \quad k = 0, 1, 2, \dots \quad (2)$$

где \mathcal{A} — базовый алгоритм, связанный с исходной задачей f из некоторого семейства F , которая входит в него неявным параметром; $X_k := \{x^k, \dots, x^{k-r+1}\}$; $\{x^i\}_{1-r}^\infty$ — итеративные точки, принадлежащие B ; $X_0 \equiv \{x^0, \dots, x^{1-r}\}$ — набор начальных точек, выбираемый из каких-то внешних для данного метода соображений.

Под сходимостью итераций из (2) понимается существование предела: $\alpha = \lim_{k \rightarrow \infty} x^k$. При $r = 1$ итерации (2) именуются методом простых итераций, а элемент α , если в нем непрерывен алгоритм \mathcal{A} , — неподвижной точкой алгоритма \mathcal{A} .

Когда алгоритм \mathcal{A} корректно связан с исходной задачей f , элемент α , если существует, должен быть решением задачи f .

Согласно (2) алгоритм \mathcal{A} для построения итеративной точки x^{k+1} использует информацию только о наборе X_k . Однако доступной и применяемой часто оказывается еще дополнительная информация I_k , в явном виде не вошедшая в список аргументов алгоритма \mathcal{A} , а вычисляемая вспомогательным алгоритмом:

$$I_{k+1} = \mathcal{A}_I(X_k, I_k), \quad k = 0, 1, \dots . \quad (3)$$

В качестве примера подобной дополнительной информации можно привести оценку погрешности d_k для k -го приближения:

$$d_k \geq \|x^k - \alpha\|. \quad (4)$$

Если она используется для критерия остановки итеративного процесса:

$$d_k \leq \varepsilon, \quad (5)$$

где ε — заданный уровень допустимой погрешности приближенного решения, то к вычислениям в (2) добавляются еще вычисления d_k в (3) как одной из составных частей I_k . Если помимо d_k не используется другой информации, то $I_k = \{d_k\}$. И тогда расчетная формула (3) часто редуцируется до (8).

Вместе с тем и базовый алгоритм может зависеть от некоторой, вообще говоря, иной информации. После пополнения ею I_k и сохранения того же обозначения, итеративный метод принимает вид

$$\begin{cases} x^{k+1} = \mathcal{A}(X_k, I_k), \\ I_{k+1} = \mathcal{A}_I(X_k, I_k), \end{cases} \quad k = 0, 1, \dots \quad (6)$$

Более того, введем также во все I_k , с сохранением обозначений, ту часть доступной без вычислительных затрат информации, которая непосредственно не использовалась в итерациях (6).

Поясним сказанное примером. Из оценки текущей погрешности и информации о сжимающих свойствах базового алгоритма метода простой итерации:

$$(\forall x \in B) \quad \|\mathcal{A}(x) - \alpha\| \leq c\|x - \alpha\|^p, \quad p \geq 1, \quad (7)$$

легко извлекается рекуррентная формула для неулучшаемой согласно имеющейся информации оценки погрешности $(k+1)$ -го приближения:

$$d_{k+1} = cd_k^p. \quad (8)$$

Однако очевидно, что восстановить (7) по (8) невозможно. Следовательно, в $\{(7), d_k\}$ информации больше, чем в $\{(8), d_k\}$. Поэтому окончательно полагаем

$$I_k := \{(7), d_k\}, \quad \mathcal{A}_I(x^k, I_k) := \{(7), cd_k^p\}.$$

Будем также считать, что результат работы базового алгоритма \mathcal{A} не меняется при описанном выше расширении итеративной информации. Потребуем еще, чтобы все I_k , $k = 0, 1, \dots$ обладали единым строением Ξ .

Изложим методику, которая позволяет в некоторых случаях предложить на основе базового алгоритма \mathcal{A} иные итерации, сходящиеся лучше, чем процесс (6). Как правило, объем дополнительных к базовому алгоритму вычислений для подобной модификации легко оценивается.

Принцип минимальности (ПМ). *Если итеративная информация I_k еще не содержит оценку погрешности d_k , введем ее туда с сохранением обозначений для информации и ее структуры (I_k, Ξ) . Если начальная оценка была неизвестна, назначаем $d_0 := +\infty$.*

Положим $w = \mathcal{A}(X_k, I_k)$.

Если итеративный процесс (6) имеет теоретическое обоснование сходимости, то набору X_k, I_k должно соответствовать содержащее решение α некоторое ограниченное множество

$$\mathcal{I}_k := \mathcal{I}(X_k, I_k) \subset B,$$

а расширенному набору X_k, w, I_k , — суженное, вообще говоря, множество

$$\mathcal{I}'_k := \mathcal{I}'(X_k, w, I_k) \subset B. \quad (9)$$

Для построения очередного итеративного набора x^{k+1}, I_{k+1} нужно использовать набор X_k, w, I_k следующим образом. Итеративной точкой x^{k+1} назначить минимайзер величины $\Delta_k(y) := \max_{z \in \mathcal{I}'_k} \|y - z\|$, т. е. величину

$$\arg \min_{y \in B} \max_{z \in \mathcal{I}'_k} \|y - z\|, \quad (10)$$

где \mathcal{I}'_k — множество из (9). Очередная итеративная информация I_{k+1} должна обладать строением Ξ , входящая в нее оценка погрешности есть $d_{k+1} \equiv \Delta_k(x^{k+1})$, оставшаяся часть итеративной информации определяется так, чтобы

$$\mathcal{I}(x^{k+1}, I) \supset \mathcal{I}'_k \implies \mathcal{I}(x^{k+1}, I_{k+1}) \subset \mathcal{I}(x^{k+1}, I),$$

где I обладает строением Ξ .

Если минимайзер величины $\Delta_k(y)$ или очередная итеративная информация не определены единственным образом согласно вышеизложенному, то это следует сделать с привлечением каких-нибудь дополнительных соображений об их выборе.

Замечание 1. Применение ПМ отменяет применение вспомогательного алгоритма \mathcal{A}_I в итеративном процессе.

Замечание 2. ПМ применим также и к итеративным процессам, не имеющим изначально отличной от X_k итеративной информации ($I_k = \emptyset$). В этих случаях согласно ПМ строение Ξ формируется из одного числа — оценки погрешности текущей итерации: $I_k = d_k$. При этом, если нет оценки погрешности d_0 , то можно положить $d_0 = +\infty$. Далее будет показана польза от пополнения итеративной информации оценкой погрешности.

Модификация алгоритма \mathcal{A} с помощью принципа минимальности есть новый алгоритм $\mathcal{M}(X, I, \mathcal{A}(X))$. Его естественно именовать *точной релаксацией* (ТР) алгоритма \mathcal{A} , ибо он обеспечивает минимум оценки погрешности следующей итеративной точки в рамках имеющейся информации.

Точные релаксации порождают итеративный процесс

$$\{x^{k+1}, I_{k+1}\} = \mathcal{M}(X_k, I_k, \mathcal{A}(X_k)), \quad k = 0, 1, \dots . \quad (11)$$

Здесь начальные точки x^i , $i = \overline{1-r, \dots, 0}$, и начальная итеративная информация I_0 (без d_0) те же, что и для исходного итеративного метода (6). Для прочих индексов $k = 1, 2, \dots$ итеративные точки и итеративные информации, вообще говоря, отличны от тех, что появляются в методе (6). Последнее предложение верно и для оценок погрешностей d_k , $k = 1, 2, \dots$, если они входили в состав итеративной информации метода (6).

Итеративный процесс приближения к искомому элементу α с помощью ТР назовем *методом точных релаксаций*.

2°. Точные релаксации для метода простых итераций. Естественно ожидать, что различия в нормах и в строениях итеративной информации приведут к различиям в вычислительных формулах метода точных релаксаций любого итеративного метода, и в частности метода простых итераций. Добавим конкретности.

K1. В качестве B возьмем предгильбертово (в частности, и евклидово) пространство, а под $\|\cdot\|$ будем понимать естественную норму в нем: $\|x\| := \sqrt{x \cdot x}$.

K2. Итеративная информация — оценка (7) и оценка текущей погрешности d_k . Оценка начальной погрешности $d_0 \geq \|x^0 - \alpha\|$ считается заданной. В частности, допустимо $d_0 = +\infty$.

Таким образом, дополнительная информация I_k состоит из постоянной части (оценки (7)) и переменного числа d_k — оценки текущей погрешности (см. (4)).

Тогда, опуская постоянный компонент итеративной информации, (11) принимает [5] вид:

$$(x^{k+1}, d_{k+1}) = \mathcal{M}(x^k, d_k, \mathcal{A}(x^k, d_k)), \quad k = 0, 1, \dots . \quad (12)$$

По своему духу предлагаемая модификация \mathcal{M} имеет отдаленное сходство с релаксациями в итеративных методах решения систем линейных уравнений (в основном в модификации методов типа метода Гаусса—Зейделя) как в «чистом виде», так и в составе итеративных методов, требующих решения линейных систем, например в методе Ньютона [10] или в методе сеток [11].

Далее, где возможно, индекс текущей итерации у оценок погрешностей и итеративных точек будет опускаться, а вместо индекса последующей итерации $(k+1)$ будет $*$, т. е.: $x := x^k$, $d := d_k$, $x^* := x^{k+1}$, $d_* := d_{k+1}$.

Когда $c < 1 \wedge p = 1$, итерации (2) согласно (7) порождают глобально сходящуюся к α последовательность $\{x^k\}_1^\infty$, т. е. сходимость происходит из любой начальной точки пространства B .

Когда $p > 1$, глобальная сходимость метода простой итерации из оценки (7) не следует ни при каком c . Действительно, существование такого $d = d^0$, что $cd^p > d$, очевидно. Ясно также, что и $x = x^0$, удовлетворяющий $\|x - \alpha\| = d$, существует. Из (7) лучше оценки погрешности следующей итерации, чем $d_* < cd^p$, не получить. Таким образом, ситуация $d_* \in (d, cd^p)$ вполне возможна, т. е. погрешность следующей итерации может оказаться больше текущей.

Достаточное условие сжатия метода простой итерации при $p > 1$, связанное с ограничением на начальную погрешность, легко получить из (7):

$$1 > cd^{p-1} \iff d > cd^p > d_*.$$

Нетрудно заметить, что это условие ($1 > cd^{p-1}$) для любого $c > 0$ всегда можно удовлетворить достаточно малым d . Таким образом, метод простой итерации всегда имеет локальную сходимость при $p > 1$ независимо от c .

Оказывается, условия К1 и К2 однозначно определяют очередные итеративные точку x^* и информацию d_* для точной релаксации. Покажем как.

Определим зону Аполлония (о происхождении названия несколько позднее) и оценочный шар:

$$\begin{aligned} S(x, \mathcal{A}) &:= \{\alpha \mid \|\mathcal{A}(x) - \alpha\| \leq c\|x - \alpha\|^p\}, \\ S_x^d &:= \{y \mid \|y - x\| \leq d\}. \end{aligned} \tag{13}$$

Поскольку решение α должно находиться как в $S(x, \mathcal{A})$, так и в S_x^d , и это единственное условие для формирования \mathcal{I}'_k ,¹⁾ имеем

$$\mathcal{I}'_k = S(x, \mathcal{A}) \cap S_x^d. \tag{14}$$

Согласно принципу минимальности $(k+1)$ -й итеративной точкой следует назначить центр минимального шара (т. е. шара минимального радиуса), содержащего множество \mathcal{I}'_k . Лучшая оценка погрешности d_* итеративной точки x^* тогда будет равна радиусу минимального шара. Числа, большие чем этот радиус, дали бы больший оценочный шар на следующей итерации. Следовательно, согласно принципу минимальности в $(k+1)$ -ю итеративную информацию нужно включить d_* .

Так как минимальный шар единствен для любого множества, привлечения дополнительных соображений, для устранения неединственности в рассматриваемой точной релаксации, не требуется.

¹⁾ Добавление к составу двух условий, определяющих множество \mathcal{I}'_k , стандартной оценки: $\|\mathcal{A}(x) - \alpha\| \leq cd^p$ не сузит множества \mathcal{I}'_k , так как она вытекает из этих двух условий.

Отметим, что при $d_0 = +\infty$ будет $S_x^d = B$ и $\mathcal{I}'_k = S(x, \mathcal{A})$. Если зона Аполлония ограничена, то она содержится в некотором минимальном шаре, радиус которого будет оценкой погрешности последующей итерации согласно ТР. В этом случае применение ТР не нуждается в предварительной оценке начальной погрешности. Однако ее наличие, если $d_0 < \infty$, повышает скорость сходимости ТР.

Более того, при $p = 1$, как известно, зона Аполлония является шаром, т. е. всегда ограничена. Тогда, следовательно, предварительные изыскания для применения ТР на основе метода простой итерации можно ограничить лишь установлением факта $c < 1$.

Сходимость, скорость сходимости, текущие погрешности, удобство использования метода точной релаксации естественно сравнивать с такими же характеристиками породившего его метода простой итерации.

Распространенный подход к исследованию погрешности текущей итерации x в методе простых итераций с использованием оценки (7) заключается в получении оценки d_0 погрешности начального приближения ($\|x^0 - \alpha\| \leq d_0$) и последовательном применении вытекающей из (7) формулы $d_{k+1} \leq cd_k^p$:

$$d_k \leq c^{1+p+p^2+\dots+p^{k-1}} d_0 = (Cd_0)^{p^k}/C, \quad (15)$$

где $C = \sqrt[p-1]{c}$. В линейном случае ($p = 1$):

$$d_k \leq cd_{k-1} \leq \dots \leq c^k d_0. \quad (16)$$

Использование такого типа оценок для остановки итеративного процесса по достижении заданной точности фактически превращает метод простых итераций в метод вида (6).

Поведение оценок погрешностей в методе ТР носит совсем иной характер в силу их зависимости от последовательности результатов применения ТР на каждом шаге. То есть априори эти оценки носят вероятностный характер и корректное сравнение их поведений следует проводить привлекая ту или иную статистику. Вместе с тем, согласно принципу минимальности оценки погрешностей итераций метода ТР всегда не больше оценок модифицируемого метода, а в некоторых случаях возможно для погрешности следующей итерации по ТР получить оценку сверху, которая для любой текущей итерации будет строго меньше оценки следующей итерации в исходном алгоритме.

3°. Точные релаксации в скалярном пространстве. Наиболее наглядно проявление метода ТР в скалярном пространстве. Шар S_x^d превращается в сегмент $[x - d, x + d]$. Для описания зоны Аполлония введем обозначения:

$$\vec{r} := \mathcal{A}(x) - x, \quad r := |\vec{r}|. \quad (17)$$

3.1. Линейная сходимость ($p = 1$). Таковой сходимостью обладает, например, упрощенный метод Ньютона

$$x^{k+1} = x^k - g'(x^0)g(x^k)$$

решения нелинейного уравнения $g(x) = 0$, где $g : D \subseteq R^1 \rightarrow R^1$.

Традиционно считается, что оценка (7) при $p = 1$ имеет ценность, лишь когда $c < 1$. Будем и здесь пока полагать $c < 1$. Тогда в линейном случае зона Аполлония есть сегмент:

$$S(x, \mathcal{A}) := \left[x + \frac{\vec{r}}{1+c}, x + \frac{\vec{r}}{1-c} \right]. \quad (18)$$

(Здесь допущена небольшая вольность речи: когда $\vec{r} < 0$, то левый конец последнего сегмента становится больше правого.)

Пересечение двух сегментов S_x^d и $S(x, \mathcal{A})$ есть сегмент. Его центр, согласно ТР, назначается следующей итеративной точкой, а половина его длины — оценкой d_{k+1} погрешности точки x^{k+1} .

Вывод расчетных формул для x^* и d_* несложен:

$$x^* = \begin{cases} x + \operatorname{sgn} \vec{r} \left(d + \frac{r}{1+c} \right) / 2 & \wedge \quad d \leq \frac{r}{1-c}, \\ x + \frac{\vec{r}}{1-c^2} & \wedge \quad d > \frac{r}{1-c}, \end{cases} \quad (19)$$

$$d_* = \begin{cases} \left(d - \frac{r}{1+c} \right) / 2 & \wedge \quad d \leq \frac{r}{1-c}, \\ \frac{rc}{1-c^2} & \wedge \quad d > \frac{r}{1-c}. \end{cases} \quad (20)$$

Вторые строки в формулах (19), (20) соответствуют столь большому d , что зона Аполлония $S(x, \mathcal{A})$ целиком содержится в S_x^d . Если неизвестна оценка погрешности начального приближения d_0 , то она полагается равной $+\infty$, что приводит на первом шаге к использованию именно вторых строк в формулах (19), (20):

$$x^1 = x + \vec{r} / (1 - c^2) \quad \wedge \quad d_1 = rc / (1 - c^2).$$

Дополнительные вычислительные затраты на итерацию точной релаксации определяются из формул (19), (20). Это — операция умножения r на $1/(1-c)$, одна операция сравнения, затем, когда $d > r/(1-c)$, две операции умножения: r на $c/(1-c^2)$ и r на $1/(1-c^2)$, а когда $d \leq r/(1-c)$ — одно умножение r на $1/(2+2c)$, одно деление d на 2 и два сложения-вычитания. Итого: одна операция сравнения плюс 3-4 арифметических операций.

Из первой строки формул (20) получаем

$$d_* = \left(d - \frac{r}{1+c} \right) / 2 \leq \left(d - \frac{d-dc}{1+c} \right) / 2 = \frac{dc}{1+c}.$$

Из второй строки:

$$d_* = \frac{rc}{1-c^2} < \frac{dc}{1+c}.$$

Таким образом, всегда

$$d_* \leq \frac{dc}{1+c}. \quad (21)$$

Равенство в оценке (21) возможно лишь в редких случаях, когда $\|\mathcal{A}(x) - x\| \equiv r = d - dc$. Поэтому практическая ценность модификации выше, чем коэффициент $c/(1+c)$ в (21) вместо c в (16).

При возрастании c к 1, скорость сходимости метода ТР уменьшается. Тем не менее, всегда гарантируется уменьшение оценки погрешности более чем в два раза на шаге.

Примечательно, что если оценка начальной погрешности известна, то метод ТР сходится к решению и когда $c = 1$. Тогда зона Аполлония есть полу бесконечный интервал, который содержит $\mathcal{A}(x)$ и имеет конечную границу в точке $(\mathcal{A}(x) + x)/2$. Расчетные формулы ТР упрощаются до

$$x^* = x + \operatorname{sgn} \vec{r} \left(d + \vec{r}/2 \right) / 2 \quad \wedge \quad d_* = \left(d - r/2 \right) / 2.$$

При этом на каждой итерации будет выполняться $r \leq 2d$ и погрешность продолжает уменьшаться более чем в два раза.

3.2. Квадратичная сходимость ($p = 2$). Таковой сходимостью обладает, например, метод Ньютона

$$x^* = x - J^{(-1)}(x)g(x)$$

для решения скалярного уравнения $g(x) = 0$.

В квадратичном случае границы зоны Аполлония $S(x, \mathcal{A})$ суть вещественные корни следующего уравнения относительно α :

$$|\mathcal{A}(x) - \alpha| = c|x - \alpha|^2.$$

В зависимости от соотношений чисел $x, \mathcal{A}(x), c$ их может быть 2, 3, 4. Поместим начало координат в точку x и направим координатную ось так, чтобы $0 < \mathcal{A}(x) \equiv r$. Тогда для определения координат границ зоны Аполлония имеем уравнение относительно γ :

$$|r - \gamma| = c\gamma^2. \quad (22)$$

Его корни, меньшие r , удовлетворяют уравнению $r - \gamma = c\gamma^2$, всегда имеющему два вещественных корня:

$$\gamma_{0,1} = \frac{-1 \mp \sqrt{1 + 4rc}}{2c}.$$

Они также являются и корнями уравнения (22), ибо, как нетрудно проверить, для любых положительных r, c справедливо неравенство $-1 + \sqrt{1 + 2rc} < 2rc$, эквивалентное $\gamma_1 < r$. Ну а $\gamma_0 < \gamma_1$ очевидно. Следовательно, $\gamma_0, \gamma_1 \in \partial S(x, \mathcal{A})$ и легко проверить, что $(\gamma_0, \gamma_1) \not\subset S(x, \mathcal{A})$.

Корни уравнения (22) большие, чем r , определяются аналогично:

$$\gamma - r = c\gamma^2 \implies \gamma_{2,3} = \frac{1 \mp \sqrt{1 - 4rc}}{2c}.$$

Если $1 \geq 4rc > 0$, то аналогично легко проверяется, что $\gamma_2 > r$. И очевидно, что $\gamma_3 \geq \gamma_2$ с достижением равенства при $rc = 1/4$. Поэтому вещественные γ_2, γ_3 также являются и корнями уравнения (22), следовательно, $\gamma_2, \gamma_3 \in \partial S(x, \mathcal{A})$. Нетрудно проверить, что $(\gamma_2, \gamma_3) \not\subset S(x, \mathcal{A})$. Таким образом, зона Аполлония имеет следующую структуру:

$$S(x, \mathcal{A}) = \begin{cases} (-\infty, \gamma_0] \cup [\gamma_1, +\infty), & 4rc \geq 1, \\ (-\infty, \gamma_0] \cup [\gamma_1, \gamma_2] \cup [\gamma_3, +\infty), & 4rc \leq 1. \end{cases} \quad (23)$$

Здесь в случае реализации равенства $4rc = 1$ выполняется $\gamma_2 = \gamma_3$ и множество во второй строке совпадает с множеством из первой строки.

Ограничение начальной погрешности $d < 1/c$ — обычное требование к оценкам $|\mathcal{A}(x) - \alpha| \leq c|x - \alpha|^2$. Тогда, поскольку $|\gamma_0| > 1/c$, верно $|\gamma_0| > d$ для всех r . Следовательно, полубесконечный интервал $(-\infty, \gamma_0]$ не участвует в построении множества \mathcal{I}'_k . Вместе с тем, $r \leq d + cd^2$ и поэтому

$$\gamma_1 \leq \frac{-1 + \sqrt{1 + 4cd + 4c^2d^2}}{2c} = d.$$

Относительно γ_2 и γ_3 величина d может быть расположена произвольно. Таким образом, точная релаксация, когда $4rc \geq 1$, а также когда $4rc < 1$, в случаях $d \geq \gamma_3$ и $d \leq \gamma_2$, при произвольном x имеет вид

$$\begin{cases} x^* = x + \frac{\gamma_1 + d}{2} \operatorname{sgn} \vec{r} = x + \left(\frac{d}{2} - \frac{1 - \sqrt{1 + 4rc}}{4c} \right) \operatorname{sgn} \vec{r}, \\ d_* = \frac{d - \gamma_1}{2} = \frac{d}{2} + \frac{1 - \sqrt{1 + 4rc}}{4c}. \end{cases}$$

В других случаях, т. е. когда $4rc < 1 \wedge d \in (\gamma_2, \gamma_3)$:

$$\begin{cases} x^* = x + \frac{\gamma_1 + \gamma_2}{2} \operatorname{sgn} \vec{r} = x + \frac{\sqrt{1+4rc} - \sqrt{1-4rc}}{4c} \operatorname{sgn} \vec{r}, \\ d_* = \frac{\gamma_2 - \gamma_1}{2} = \frac{2 - \sqrt{1-4rc} - \sqrt{1+4rc}}{4c}. \end{cases}$$

4°. Многомерный случай ($p = 1$). Этот случай имеет общее с некоторыми результатами из дифференциальных игр преследования.

4.1. Связь метода простой итерации с дифференциальными играми. Пусть Преследователь P и Убегающий E — двое игроков-точек — обладают простым движением:

$$\|\dot{P}\| \leq 1, \quad \|\dot{E}\| \leq c, \quad c < 1. \quad (24)$$

Точки P и E есть элементы вещественного гильбертова или евклидова пространства B . Под нормой элемента $z \in B$ понимается $\sqrt{z \cdot z}$. Играшки P и E могут в каждый момент времени выбирать произвольное направление скорости своего движения и величину скорости, подчиненную ограничению (24).

Если Убегающий выбирает равномерное прямолинейное движение с максимальной скоростью на всю игру, и Преследователь знает это, а также выбиравшую начальную скорость $\dot{E}(0)$ и начальные позиции $E(0) \neq P(0)$, то он может двигаться на *перехват*, т. е. прямолинейно и с максимальной скоростью так, чтобы обеспечить за минимальное время T захват Убегающего, под чем понимается поточечное совпадение игроков в этот момент: $P(T) = E(T) =: Z$. Ясно, что

$$|E(0)Z| = c|P(0)Z|. \quad (25)$$

Такому типу игр посвящено много исследований, в частности в работах [1, 3, 21, 16]. Доказано, что множество захватов образует замкнутую гладкую гиперповерхность, являющуюся границей некоторого односвязного множества, называемого *зоной безопасности* (или *областью достижимости*) [12]. В двухмерном пространстве она известна как *круг Аполлония*²⁾. В многомерном пространстве будем называть его *шаром Аполлония*. Сделаем извлечения из упомянутых работ:

²⁾ Аполлонию в III в. до н. э. дифференциальные игры еще не были известны. Он исследовал геометрическое место точек, отношение расстояний которых до двух фиксированных точек есть постоянная величина, и доказал, что это окружность.

ЛЕММА 1. Из двух множеств, на которые разбивается пространство гиперповерхностью захватов, шаром Аполлония, т. е. односвязным и ограниченным, при $c < 1$ является множество

$$S_{E(0), P(0), c} := \{Z \mid |E(0)Z| \leq c|P(0)Z|\}. \quad (26)$$

ЛЕММА 2. Шар (круг) Аполлония $S_{E(0), P(0), c}$ есть действительно шар (круг), и его центр находится на прямой, проходящей через $E(0)$ и $P(0)$.

ЛЕММА 3. Если P имеет текущую информацию о $\dot{E}(t) \forall t \geq 0$ и выбирает свою скорость $\dot{P}(t) \forall t \geq 0$, как скорость движения на перехват при прямолинейной стратегии Убегающего, начинающейся с момента t , т. е. $\dot{E}(\tau) = \dot{E}(t) \forall \tau \geq t$, то захват Убегающего произойдет внутри шара Аполлония.

Возвращаемся к численным методам. При $p = 1$ зона Аполлония (13) принимает вид

$$S(x, \mathcal{A}) := \{\alpha \mid \|\mathcal{A}(x) - \alpha\| \leq c\|x - \alpha\|\}. \quad (27)$$

Сопоставлением x и $P(0)$, $\mathcal{A}(x)$ и $E(0)$, α и Z доказывается равенство границы шара Аполлония $S_{E(0), P(0), c}$, т. е. множества точек Z , удовлетворяющих (25), множеству $\{\alpha \mid \|\mathcal{A}(x) - \alpha\| = c\|x - \alpha\|\}$. Таким образом, в силу леммы 2 зона Аполлония $S(x, \mathcal{A})$ есть шар Аполлония, центр которого лежит на прямой ℓ , проходящей через x и $\mathcal{A}(x)$.

ЛЕММА 4. Если итерация x не является неподвижной точкой алгоритма \mathcal{A} , то $x \notin S(x, \mathcal{A})$.

Доказательство. Иначе, положив в (27) переменную α равной $x \in S(x, \mathcal{A})$, получили бы $\|\mathcal{A}(x) - x\| \leq 0$, т. е. $\mathcal{A}(x) = x$, т. е. итерация x суть неподвижная точка алгоритма \mathcal{A} . \square

Из леммы 4, очевидно, следует, что если α — искомое решение, то

$$x \neq \alpha \implies S(x, \mathcal{A}) \not\ni S_x^d. \quad (28)$$

ЛЕММА 5. Если сегмент s круга S_x^d , отсекаемый хордой Q , не содержит центра x круга S_x^d , то s содержится в круге $S_C^{|Q|/2}$ с центром C в середине хорды Q , которая для $S_C^{|Q|/2}$ является диаметром.

Ограничимся только схемой доказательства, оставив без внимания очевидное, но требующее для проверки громоздких выкладок.

Введем полярную систему координат. Полюс разместим в x , а полярную ось проведем через C . В силу симметрии и условия леммы, концы хорды имеют полярные углы $\pm\varphi_Q$ и $\varphi_Q \in (0, \pi/2)$, а все углы точек дуги сегмента лежат в $[-\varphi_Q, \varphi_Q]$. Согласно теореме косинусов квадрат расстояния ρ от C до любой точки $\sigma := (d, \varphi)$ дуги сегмента есть

$$\rho(\varphi) \equiv |\sigma x|^2 = |Cx|^2 + d^2 - 2 \cos \varphi. \quad (29)$$

Так как $\cos \varphi > \cos \varphi_Q \quad \forall \varphi \in (-\varphi_Q, \varphi_Q)$, максимум $\rho(\varphi)$, равный $|Q|/2$, достигается на крайних точках дуги. Поэтому вся дуга лежит в шаре $S_C^{|Q|/2}$, значит и весь сегмент s в $S_C^{|Q|/2}$.

Найдем диаметр и центр минимального по величине³⁾ диаметра шара S , содержащего пересечение оценочных множеств, т. е. пересечение шара $S_x^d := \{z \mid \|z - x\| \leq d\}$ с шаром Аполлония $S(x, \mathcal{A})$. (Оно, конечно, не пусто, если обе оценки истинны.)

В силу симметрии ситуации относительно прямой ℓ центр шара S должен лежать на этой прямой. Для нахождения этого центра и радиуса (т. е. величин x^* и d_*) рассмотрим содержащую ℓ произвольную двумерную плоскость. В ней сечения исследуемых трех шаров имеют вид кругов, диаметры которых равны соответственно диаметрам этих трех шаров. В силу (28), если $\mathcal{A}(x) \neq x$, то либо $S(x, \mathcal{A}) \subset S_x^d$, либо круги $S(x, \mathcal{A})$, S_x^d имеют общую хорду $Q \perp \ell$. Ясно, что $Q_\ell := Q \cap \ell$ является серединой (центром) хорды Q .

Проведем в круге Аполлония диаметр D перпендикулярно прямой ℓ . И затем,

- 1) когда этот диаметр принадлежит кругу S_x^d , следует положить $S = S(x, \mathcal{A})$, ибо нет меньшего круга, который бы содержал D ;
- 2) когда $D \not\subset S_x^d$, найдем общую хорду Q кругов $S(x, \mathcal{A})$ и S_x^d .

ТЕОРЕМА 1. *Если $D \not\subset S_x^d$, то*

- 1) *центры шаров S_x^d , $S(x, \mathcal{A})$ лежат на прямой ℓ по разные стороны от Q_ℓ ;*
- 2) *шар, в котором Q суть диаметр, является минимальным шаром, содержащим $S_x^d \cap S(x, \mathcal{A})$.*

³⁾ В русском языке слово «диаметр» может иметь смысл отрезка и смысл величины этого отрезка. Различие происходит обычно по контексту. Далее в этой работе распознавать значения этого термина также предлагается в основном по контексту. Однако в обозначениях будет разница: D и $|D|$.

Доказательство. Достаточно проверить утверждения теоремы в произвольном двумерном сечении пространства, содержащем прямую ℓ .

1. Пусть точка $C_{\mathcal{A}} \in \ell$ есть центр круга $S(x, \mathcal{A})$. Параметризуем прямую ℓ :
 $C(t) := C_{\mathcal{A}} - \frac{C_{\mathcal{A}} - x}{\|C_{\mathcal{A}} - x\|}t$. Восстановим перпендикуляр к ℓ в $C(t)$. Допустим, он пересекает границу круга Аполлония в точке $Y(t)$. По теореме Пифагора

$$\begin{aligned}\|x - Y(t)\|^2 &= \left(\sqrt{|D|^2/4 - t^2}\right)^2 + (\|C_{\mathcal{A}} - x\| - t)^2 = \\ &= |D|^2/4 + (C_{\mathcal{A}} - x)^2 - 2\|C_{\mathcal{A}} - x\|t.\end{aligned}$$

Следовательно, $\|x - Y(t)\|$ монотонно убывает до 0 с ростом t от 0. Но $D \not\subset S_x^d$ означает, что концы диаметра D , как самые удаленные от x , не принаследуют кругу S_x^d , т. е. $\|x - Y(0)\| > d$, что при $t < 0$ влечет $\|x - Y(t)\| > d$. Поэтому $Y(t)$ при $t \leq 0$ не может быть концом хорды Q , и, следовательно, ($\nexists t < 0$) $Q_\ell = C(t)$. То есть $C_{\mathcal{A}}$, равный $C(0)$, не может находиться между $x = C(\|C_{\mathcal{A}} - x\|)$ и Q_ℓ . По лемме 4 $x \notin S(x, \mathcal{A})$, следовательно, x не может быть между $C_{\mathcal{A}}$ и Q_ℓ (тогда бы выполнялось $\|C_{\mathcal{A}} - x\| \leq \|C_{\mathcal{A}} - Q_\ell\| < D/2$, что влечет $x \in S(x, \mathcal{A})$). Остается одна возможность: Q_ℓ — между $C_{\mathcal{A}}$ и x .

2. Поскольку центры кругов S_x^d и $S(x, \mathcal{A})$ находятся по разные стороны от их общей хорды Q , их пересечение состоит из объединения двух сегментов, отсекаемых хордой Q от этих кругов. Причем ни один из таких сегментов не содержит центра круга, от которого он отсечен, поэтому каждый из сегментов находится в круге, для которого Q — диаметр (лемма 5). Следовательно, и объединение этих сегментов также лежит в этом круге. \square

Перейдем к вычислительным формулам для центра и радиуса шара S .

4.2. Вывод расчетных формул.

Пусть

$$\vec{r} := \mathcal{A}(x) - x, \quad r := \|\vec{r}\|. \quad (30)$$

Используя оценку (27), имеем

$$r \leq \|x - \alpha\| + \|\mathcal{A}(x) - \alpha\| \leq d + dc. \quad (31)$$

Найдем параметры круга Аполлония: величину его диаметра D и центр O . Согласно теореме 1.7 поиск сводится к одномерному на прямой ℓ , проходящей через x и $\mathcal{A}(x)$. Там $S(x, \mathcal{A})$ имеет вид (18). Поэтому

$$O = x + \frac{\vec{r}}{1 - c^2} = \frac{\mathcal{A}(x) - xc^2}{1 - c^2}, \quad (32)$$

$$|D| = \frac{r}{1-c} - \frac{r}{1+c} = \frac{2cr}{1-c^2}. \quad (33)$$

Рассмотрим диаметр D круга Аполлония, перпендикулярный ℓ . На перпендикуляре к прямой ℓ , восстановленном в центре O , точки, более близкие к центру, ближе также и к итерации x . Следовательно, чтобы проверить будет ли диаметр D принадлежать шару S_x^d , достаточно проверить будут ли его концы в шаре S_x^d , что эквивалентно соотношению

$$\sqrt{(O-x)^2 + |D|^2/4} \leq d.$$

Найдем r , которое обеспечивает здесь равенство:

$$(O-x)^2 + \frac{D^2}{4} \equiv \frac{r^2}{(1-c^2)^2} + \frac{c^2 r^2}{(1-c^2)^2} = d^2.$$

Отсюда искомое значение r есть

$$\hat{r} = (1-c^2) \sqrt{\frac{d^2}{1+c^2}} = \frac{d(1-c^2)}{\sqrt{1+c^2}}. \quad (34)$$

В силу формул (32), (33) выражения $(O-x)^2$ и D^2 растут с ростом величины r , поэтому $\bar{D} \subset S_x^d \iff r \leq \hat{r}$.

Случай $r \leq \hat{r}$. Точная релаксация и оценка ее погрешности определяются по формулам:

$$x^* = O = x + \frac{\vec{r}}{1-c^2}, \quad (35)$$

$$d_* = \frac{D}{2} = \frac{cr}{1-c^2}. \quad (36)$$

Случай $r > \hat{r}$. Пусть z — расстояние между центрами круга Аполлония и общей хорды Q . Вначале найдем центр $x^* = x + h\vec{r}/r$ общей хорды, где расстояние

$$h \in (0, r) \stackrel{(31)}{\subset} (0, d+cd)$$

от этого центра до x удовлетворяет системе

$$\begin{cases} h+z = \|O-x\|, \\ D^2/4 - z^2 = d^2 - h^2 \equiv d_*^2 \end{cases}$$

Преобразуем эту систему с помощью формул (32) и (33):

$$\begin{cases} h+z = \frac{r}{1-c^2}, \\ (h-z)\frac{r}{1-c^2} = d^2 - \frac{D^2}{4} = d^2 - \frac{c^2 r^2}{(1-c^2)^2}. \end{cases}$$

Отсюда

$$h = \frac{1}{2} \left(\frac{r}{1 - c^2} + \frac{d^2(1 - c^2)}{r} - \frac{c^2 r}{1 - c^2} \right) = \frac{1}{2} \left(r + \frac{d^2(1 - c^2)}{r} \right), \quad (37)$$

$$x^* = x + \vec{r} \left(\frac{1}{2} + \frac{d^2(1 - c^2)}{2r^2} \right). \quad (38)$$

Половина длины хорды Q есть

$$d_* = \frac{1}{2} |Q| = \sqrt{d^2 - h^2}. \quad (39)$$

Итак, расчетные формулы в первом случае будут (35) и (36), во втором — (37)–(39).

Оценим оценку d_* через оценку d .

ТЕОРЕМА 2.

$$\max_{r \leq \hat{r}} d_*(r) = d_*(\hat{r}) = \frac{dc}{\sqrt{1 + c^2}}. \quad (40)$$

$$\max_{r > \hat{r}} d_*(r) = d_*(\check{r}) = cd. \quad (41)$$

Доказательство. Утверждение (40) немедленно следует из вычислительных формул (34) и (36) [4].

В случае $r > \hat{r}$ наибольшее значение оценки d_* , как видно из (39), соответствует наименьшему значению h . С помощью формулы (37), где задается h , легко устанавливается, что $h(r)$ строго выпукла и стремится к $+\infty$ при $r \rightarrow +0$ и $r \rightarrow +\infty$. Поэтому существует единственный абсолютный минимум, который соответствует корню производной:

$$0 = h'_r = \frac{1}{2} \left(1 - \frac{d^2(1 - c^2)}{r^2} \right),$$

находимому без труда: $\check{r} := d\sqrt{1 - c^2}$. Очевидно, что $\check{r} > \hat{r}$ и

$$d + cd = d\sqrt{1 + c} \sqrt{1 + c} > d\sqrt{1 + c} \sqrt{1 - c} = \check{r}.$$

Следовательно, если $r = \check{r}$, то ограничение (31) не будет нарушено и реализуется случай $r > \hat{r}$. Поэтому

$$\begin{aligned} h_{\min} := h(\check{r}) &= \frac{d\sqrt{1 - c^2}}{2} + \frac{d^2(1 - c^2)}{2d\sqrt{1 - c^2}} \equiv d\sqrt{1 - c^2}, \\ d_* &\leq \sqrt{d^2 - h_{\min}^2} = cd. \end{aligned} \quad (42)$$

□

Таким образом, когда $\|\mathcal{A}(x) - x\| = d\sqrt{1 - c^2}$, точная релаксация не заменяет значение $\mathcal{A}(x)$ иным и, естественно, дает оценку погрешности следующей итерации ту же (cd), что и базовый алгоритм. Во всех прочих случаях она обеспечивает $d_* \leq sd$ с $s < c$. Величина s на каждой итерации своя, при желании ее можно извлечь как функцию некоторого параметра δ из формулы (36) или из формул (37), (39), полагая $\delta = r/d$:

$$\begin{aligned} s &\stackrel{(36)}{=} \frac{c\delta}{1 - c^2}, & \delta \in \left(0, \frac{1 - c^2}{\sqrt{1 + c^2}}\right], \\ s &\stackrel{(39)}{=} \sqrt{1 - (h/d)^2} \stackrel{(37)}{=} \sqrt{1 - \frac{1}{4} \left(\delta + \frac{1 - c^2}{\delta}\right)^2}, \\ \delta &\in \left(\frac{1 - c^2}{\sqrt{1 + c^2}}, 1 + c\right]. \end{aligned}$$

При $r = \hat{r} \equiv d(1 - c^2)/\sqrt{1 + c^2}$ (36) даст $d_* = dc/\sqrt{1 + c^2}$. Вычислив $h(\hat{r})$ в силу (37), а затем d_* в силу (39), также получим $dc/\sqrt{1 + c^2}$. Таким образом, формулы (36), (37), (39) определяют непрерывную функцию $d_*(r)$, $r \in [0, d + dc]$.

Объединяя (30) с (34), (35) с (38) и (36) с (37), (39), получим **сводные формулы для точной релаксации \mathcal{M}** :

$$\vec{r} := \mathcal{A}(x) - x, \quad r := \|\vec{r}\|, \quad \hat{r} = d(1 - c^2)/\sqrt{1 + c^2}, \quad (43)$$

$$x^* := \begin{cases} x + \vec{r}(1/2 + d^2(1 - c^2)/2r^2) & \wedge \hat{r} < r, \\ x + \frac{\vec{r}}{1 - c^2} & \wedge \hat{r} \geq r, \end{cases} \quad (44)$$

$$d_* := \begin{cases} \sqrt{d^2 - (r + d^2(1 - c^2)/r)^2/4} & \wedge \hat{r} < r, \\ \frac{cr}{1 - c^2} & \wedge \hat{r} \geq r. \end{cases} \quad (45)$$

4.3. Вычислительная трудоемкость точной релаксации. С вычислительной точки зрения экономнее использовать последовательность $\{d_k^2\}$ вместо $\{d_k\}$. Тогда вычислительные затраты на один шаг точной релаксации есть:

- 1) вычитание в пространстве B : $\vec{r} = \mathcal{A}(x^*) - x$;
- 2) вычисление скалярного квадрата $r^2 = \vec{r}^2$;
- 3) умножение d^2 на $(1 - c^2)^2(1 + c^2)^{-1}$ (т.е. вычисление \hat{r}^2);
- 4) умножение элемента пространства на число и сложение элементов согласно формуле (35) либо, и тогда еще 3 арифметические операции, согласно формуле (38);

5) одно умножение в (36) либо одно умножение (h^2) и одно вычитание в (39) для вычисления d_*^2 .

Итого: $2 \div 6$ арифметических операций и (что существеннее) вычитание элементов + вычисление скалярного произведения + сложение элементов + умножение элемента на число.

5°. Дальнейшие перспективы. 1. Осталось неисследованным применение принципа минимальности к итеративным методам, действующих в банаховых пространствах, в частности с широко применяемыми нормами $\|\cdot\|_\infty$ и $\|\cdot\|_1$.

2. Получены [13] расчетные формулы для многоточечных методов в скалярном случае (в этом докладе они не приводятся). Открыт вопрос о подобных формулах в многомерных пространствах.

3. Сам Принцип Минимальности возможно обобщить на улучшение последующего приближения в статистическом смысле после принятия некоторых разумных гипотез о распределении искомого решения. Некоторое продвижение в этом направлении сделано в [6].

ЛИТЕРАТУРА

1. Айзекс Р. Дифференциальные игры. М.: Мир, 1967. 479 с.
2. Бахвалов Н. С., Жидков Н. П., Кобельков Г. Н. Численные методы. М.: Наука, 1987. 598 с.
3. Михеев С. Е. Сходимость дискретного метода Чебышева и метода Мюллера // Вопросы механики и процессов управления. СПб.: изд. СПбГУ, 1992. Вып. 15. С. 89–99.
4. Михеев С. Е. Релаксационное ускорение на основе областей достижимости // Вестн. С.-Петерб. ун-та. 1999. Сер. 1, вып. 3 (№ 15). С. 29–35.
5. Михеев С. Е. Нелинейные методы в оптимизации. СПб.: изд. СПбГУ, 2001. 276 с.
6. Михеев С. Е. Эффективность релаксационного ускорения // Николай Ефимович Кирин (сборник статей). СПб.: АССПИН, 2003. С. 183–197.
7. Михеев С. Е. Зоны безопасности в играх с линией жизни // Вестн. С.-Петерб. ун-та. 2003. Сер. 1, вып. 3 (№ 17). С. 69–78.
8. Михеев С. Е. Метод точных релаксаций // Вычислительные технологии. Т. 11, № 6. 2006. С. 71–86.

9. Михеев С. Е. Глобализация некоторых итеративных методов решения скалярных уравнений // Вестн. С.-Петерб. ун-та. 2008. Сер. 10, вып. 1. С. 43–52.
10. Ортега Дж., Рейнболдт В. Итерационные методы решения нелинейных систем уравнений со многими неизвестными. М.: Мир, 1975. 558 с.
11. Хейгеман Л., Янг Д. Прикладные итерационные методы. М., 1986. 446 с.
12. Miheev S. E. Contraction of attainability domains in a game of pursuit // Game Theory and Applications / eds L. Petrosjan, V. Mazalov. Nova Science Pbl., N. Y. 1996. Vol. 2, P. 193–207.
13. Miheev, Serge E. Exact relaxation of multi point iterative methods in scalar case. Emission Electronics (ICEE), 2014 2nd International Conference on DOI: 10.1109/ Emission.2014.6893970.